

*Письма в ЖЭТФ, том 16, вып. 4, стр. 211 – 215*

*20 августа 1972 г.*

**УСТРАНЕНИЕ САМОСХЛОПЫВАНИЯ МОЩНОГО ЛУЧА  
В НЕЛИНЕЙНОЙ СРЕДЕ С ПОМОЩЬЮ РАСТРА –  
МНОЖЕСТВЕННОЕ ВОЛНОВОДНОЕ РАСПРОСТРАНЕНИЕ ЭНЕРГИИ.  
ДИФРАКЦИОННАЯ РЕШЕТКА В НЕЛИНЕЙНОЙ СРЕДЕ**

*Г. А. Аскарьян, Х. А. Дилнов, М. Мухамаджанов*

При исследовании самофокусировки [1 – 4] выяснилось, что само-  
схлопывание [5] и разбиение [3, 6, 7] мощных лучей в нелинейных сре-  
дах может препятствовать распространению излучения с мощностью,

значительно превосходящей пороговую. В данной работе показано, что можно устранить схлопывание такого луча, наложив на него мелкомасштабный растяг (сетку) и осуществив множественный волноводный режим распространения энергии<sup>1)</sup>. Обнаружена эффективная возможность управления самофокусировкой изменением расстояния от растяга или отверстия до входа в нелинейную среду. Фактически поставлена и исследована задача о распространении дифракционного изображения решетки в нелинейной среде.

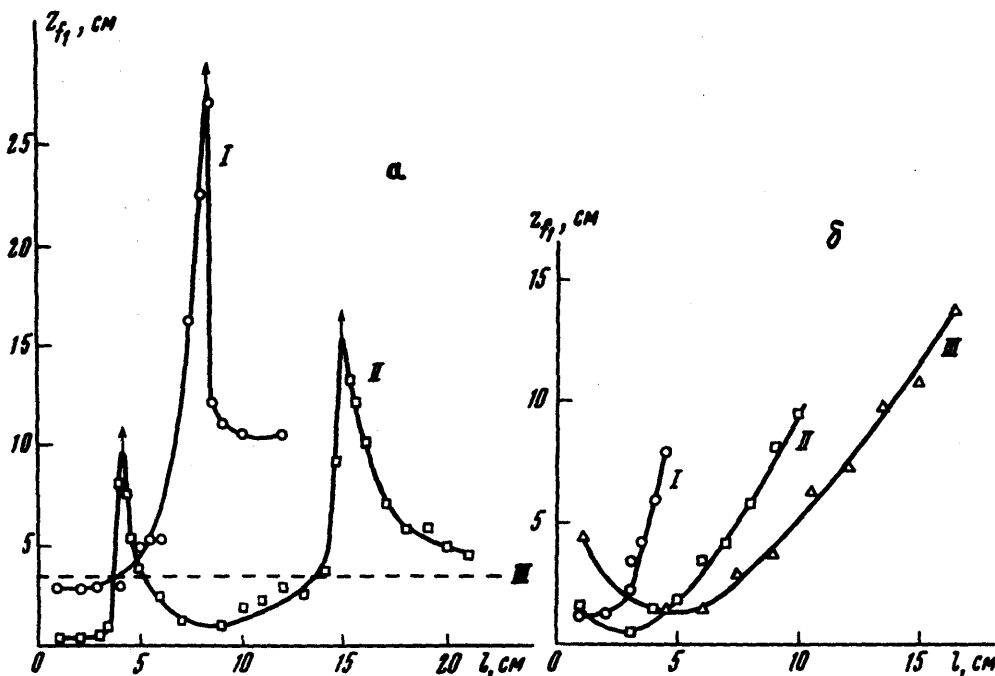


Рис. 1. Удаление положения точки схлопывания луча вглубь нелинейной среды для разных расстояний от сетки (а) или отверстия (б) до торца кюветы.  $Z_f$  – расстояние от торца до точки схлопывания луча внутри жидкости.  $\ell$  – расстояние от сетки или отверстия до торца кюветы. а – дана зависимость  $Z_f(\ell)$  для сеток с размерами ячеек I –  $3 \cdot 10^{-2}$  см, II –  $2 \cdot 10^{-2}$  см, III – положение точки схлопывания без растяга. На б – дана зависимость  $Z_f(\ell)$  для отверстий с диаметром I –  $3 \cdot 10^{-2}$  см, II –  $4 \cdot 10^{-2}$  см, III –  $5 \cdot 10^{-2}$  см. Все при плотностях потока  $2,5 \cdot 10^6$  см/см

<sup>1)</sup> Отметим, что рассечение луча сеткой для предотвращения схлопывания имеет преимущества перед увеличением расходности луча рассеивающей линзой, которая из-за малого градиента углового раздвижения подлучей (на угол  $\Delta\theta \sim \Delta r / F$ , где  $F$  – фокусное расстояние,  $\Delta r$  – размер области луча, способной схлопнуться) не может устраниить схлопывание при мощностях луча, гораздо больших пороговых ( $P > P_{\text{пор}}$  т.е.  $\Delta r \ll r$ ).

Эксперимент проводился на аксиальномодовом неодимовом лазере с модулированной лобротностью с мощностью до  $10 \text{ Мвт}$  (сектор и диафрагма в резонаторе обеспечивали плавность распределения излучения и гладкость формы импульса даже при измененном модуляторе). Луч лазера проходил через кювету с нитробензолом. Мощность луча в сотни раз превосходила пороговую  $P_{\text{пор}} = 100 \text{ квт}$ . Минимальное положение фокуса самофокусировки фиксировалось по искрам [8, 9], возникающим в жидкости в моменты максимальной концентрации энерговыделения — когда мощность луча  $P(t)$  достигает максимума и фокус останавливается, т.е. чока  $\dot{P}(t) = 0$ . Одновременно фиксировалась максимальная мощность импульса на экране осциллографа. Диаметр луча составлял  $2 \text{ мкм}$  использовались сетки с размером отверстий  $1,5 \div 3 \cdot 10^{-2} \text{ см}$  и прозрачностью  $50 \div 60\%$  или диафрагмы с такими же диаметрами отверстий. При наложении сетки на луч искры распределялись почти по всему сечению луча. Было обнаружено, что расстояние от торца кюветы до искры  $Z_f$  сильно зависит от расстояния  $\ell$  от сетки или диафрагмы до торца кюветы. На рис. 1 дана зависимость  $Z_f(\ell)$  при неизменной мощности падающего луча. При отодвигании кюветы с нелинейной жидкостью точки схлопывания луча удалялись от входного торца кюветы вглубь среды и могли быть выведены вне среды. Сильное удаление точек схлопывания наблюдалось при  $\ell_{\text{кр нл}} = 4,5 \text{ см}$  для сетки с ячейкой  $d = 2 \cdot 10^{-2} \text{ см}$ . Такое расстояние соизмеримо с так называемой френелевской длиной  $L = d^2/\lambda$ , при котором начинают заметно расширяться лучи или перекрываться соседние лучи. Вблизи этого расстояния  $\ell_{\text{кр}}$  наиболее распылена тень от сетки на входном торце кюветы. Интересно отметить, что картина становится четкой не только при меньших расстояниях  $\ell < \ell_{\text{кр}}$  (что естественно), но и при больших расстояниях. На рис. 2 даны фото теневого изображения сетки с  $d = 2 \cdot 10^{-2} \text{ см}$ , сфотографированного с матированного экрана, помещаемого на интересующих нас расстояниях до сетки: а)  $\ell = 6 \text{ см}$ , б)  $\ell = \ell_{\text{кр}} = 5 \text{ см}$  ( $\ell_{\text{кр нл}} = 4,5 \text{ см}$  немного отличается от  $\ell_{\text{кр}}$  из-за влияния продольного градиента контрастности на самофокусировку). Видно резкое размытие изображения вблизи  $\ell_{\text{кр}}$  и восстановление контраста при  $\ell = \ell_{\text{кр}} \pm 1 \text{ см}$ . Удаление точки схлопывания вглубь нелинейной среды прослеживалось до  $Z_f \approx 26 \text{ см}$ , в то время как без сетки точка схлопывания находилась на расстоянии  $Z_f \approx 3 \text{ см}$ , за входным торцом<sup>1)</sup>.

Удаление точки схлопывания при  $\ell > \ell_{\text{кр}}$  можно объяснить увеличением угла расходимости и радиуса элементарных лучей на входе в нелинейную среду. Действительно, по безабберационной оценке для каждого подлуча

$$Z_f \approx a_s \left\{ -\theta_{os} + \sqrt{n_2 E_{os}^2 - k^2/a_s^2} \right\}^{-1} = a_s^2 \left\{ -\theta_{os} a_s + \sqrt{\frac{n_2}{c} \sqrt{P_1 - P_{\text{порог}}}} \right\}^{-1},$$

<sup>1)</sup> Отметим, что наблюдать большой сдвиг искр подбором мощности лазера оказалось очень трудным, в то время как управление фокусом подбором  $\ell$ , оказалось гораздо проще и удобнее.

где величины радиусов подлучай  $a$  и углов  $\theta$  на поверхности среды отмечены индексом  $s$ , т. е. при  $P_s = \text{const}$  (до смыкания подлучай)

$$Z_f \sim a_s^2 / (-\theta_{os} a_s + \kappa),$$

где  $a_s(\ell)$  и  $\theta_{os}(\ell)$  определяются дифракционным уширением, причем  $a_s(\ell_{kp}) \theta_{os}(\ell_{kp}) \approx \kappa$ .

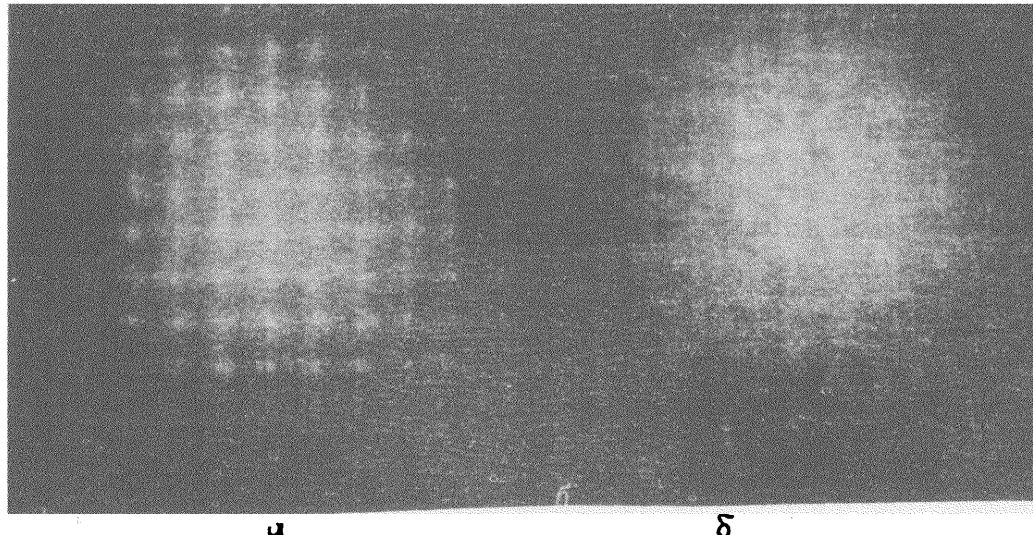


Рис. 2. Распределение интенсивности на экране на расстоянии от дифракционной решетки с  $d = 2 \cdot 10^{-2}$  см в воздухе (без нелинейной среды): а —  $\ell = 6$  см, б —  $\ell = 5$  см. Видно, что вблизи  $\ell_{kp}$  резко ослабевает, а при  $\ell = \ell_{kp} \pm 1$  см восстанавливается контраст изображения (это повторяется при  $\ell = 16$  см)

При  $\ell \approx \ell_{kp}$ , формируется дифракционное изображение, уменьшающее  $a_s$ , увеличивающее плотность излучения и уменьшающее  $\theta_s$  из-за наличия многих ячеек сетки (в фраунгоферовом пределе  $\theta_s = \theta_{s1}/N_1$ , где  $N_1$  число ячеек на единицу длины сетки и предельная мощность в максимуме  $P \sim P_1 N$  где  $N \sim N_1^3$  — полное число ячеек сетки). Отметим, что для самофокусировки важна не только начальная контрастность изображения (дающая поперечные градиенты интенсивности), но и продольная резкость изменения контрастности (дающая углы расходимости).

Изменение плотности потока в исследованной нами френелевской зоне дифракционной решетки при  $|Y| > |Y_{kp}|$  определяется контрастностью функции интенсивности, определяемой множителем  $\cos(\pi \ell \lambda / d^2)$ , где  $d$  — период решетки. Например, для синусоидальной решетки

$$I = \left| \int e^{ik\sqrt{\ell^2 + (Y-y)^2}} \left( 1 + \cos\left(\frac{2\pi y}{d}\right) \right) dy \right|^2 \sim 1 + 2\cos\left(\frac{2\pi Y}{d}\right) \cos\left(\frac{\pi \ell \lambda}{d^2}\right) + \cos^2\left(\frac{2\pi Y}{d}\right)$$

Например, при  $\cos(\pi \ell \lambda / d^2) = 0$ ;  $I \sim 1 + \cos^2\left(\frac{2\pi Y}{d}\right)\ell^2/2$  при  
 $\cos(\pi \ell \lambda / d^2) = 1$ ;  $I \sim \left\{1 + \cos\left(\frac{2\pi Y}{d}\right)^2\right\} - 60 \div 4$ , где  $\ell$  – расстояние  
 до дифракционной решетки,  $Y$  – поперечная координата наблюдения,  
 $y$  – координата вдоль решетки. Видно, что контрастность резко умень-  
 шается при  $\ell_{kp} = (2m+1)d^2/2\lambda$ , т. е.  $\ell_{kp}(m=0) = d^2/2\lambda$ ;  $\ell_{kp}(m=1) =$   
 $3d^2/2\lambda = 3\ell_{kp}(m=0)$ , что и наблюдалось на эксперименте как на нео-  
 лимовом лазере ( $\ell_{kp_1} = 5 \text{ см}$ ,  $\ell_{kp_2} = 16 \text{ см}$ ) так и на газовом гелий-не-  
 новом лазере ( $\ell_{kp_1} = 8,5 \text{ см}$ ),  $\ell_{kp_2} = 25,5 \text{ см}$  для сетки с  $d \sim 2 \cdot 10^{-2} \text{ см}$ .

Наиболее удобным для рассечения растром является луч с близким  
 к прямоугольному радиальным распределением интенсивности, но и для  
 любого радиального распределения плотности интенсивности излучения  
 $I(r)$ , можно подобрать такой растр с зависящими от радиуса площадя-  
 ми ячейки  $s(r)$ , что в каждую ячейку попадала мощность, близкая к по-  
 роговой  $s(r) \sim I(r)/P_{\text{порог}}$ . При этом поперечный градиент сублуча  
 значительно ослабляется дифракцией, что уменьшает его изгиб и рас-  
 сечение. Результаты работы значительно расширяют возможности ис-  
 пользования и проявления волноводной самофокусировки.

В заключение авторы выражают благодарность академику Д. В. Ско-  
 бельцыну за поддержку работы.

Физический институт  
 им. Н. Н. Лебедева  
 Академии наук СССР

Поступила в редакцию  
 19 июня 1972 г.

### Литература

- [1] Г. А. Аскарьян. ЖЭТФ, 42, 1567, 1962.
- [2] В. И. Таланов. Изв. высш. уч. зав., сер. Радиофизика, 7, 564, 1964.
- [3] R.Y. Chiao, E. Garmire, C.H. Townes. Phys. Rev. Lett., 13, 479, 1964.
- [4] С. А. Ахманов, А. Ю. Сухоруков, Р. В. Хохлов. УФН, 93, 19, 1967 (обзор).
- [5] P.L. Kelley. Phys. Rev. Lett., 15, 1005, 1965.
- [6] В. М. Беслалов, В. И. Таланов. Письма в ЖЭТФ, 3, 471, 1966.
- [7] А. Л. Дышко, В. Н. Луговой, А. М. Прохоров. Письма в ЖЭТФ, 6, 655, 1967.
- [8] T. Bergqvist, B. Kleman, P. Wahren. Arkiv for Fysik, B.34, 81, 1967.
- [9] В. В. Коробкин, Р. В. Серов. Письма в ЖЭТФ, 6, 642, 1967.